

## NIEKOKEKO POZNAMOK K LASEROVEJ HOLOGRAFII

ANTON ŠTRBA,\* EVA ZÁVODSKÁ,\* Bratislava

V článku sú uvedené niektoré experimentálne výsledky dosiahnuté pri zobrazovaní rovinných a priestorových objektov holografickou metódou. Poukazuje sa na možnosť použitia tejto metódy pri zobrazovaní ultrazvukových polí a uvádzajú sa výsledky získané pri zobrazovaní stojatej ultrazvukovej vlny frekvencie 1 MHz v priečelnej plánparallelnej vlnite inzetronej kvapaliny.

### I. ÚVOD

Od svojho vzniku [1] sa optická holografia ako fyzikálna metóda rozšírila do mnohých odborov fyziky. Nahradza klasické metódy všade tam, kde je potrebné získať úplnejšie informácie o vlastnostiach svetelného pola. Dôležitým medzníkom pre rozvoj holografie bol objav laseru, ktorý ju postavil na kvalitatívne vyššiu úroveň. Vlastnosti laserového ziarenia umožňujú rozšíriť holografu aj tam, kde sa klasické zdroje svetla vzhľadom na malú koherenciu dĺžku nedali požiť. Veľkým prínosom je rozpracovanie dvojlúčovej metódy [2], ktorá odstránila mnohé nedostatky pôvodnej Gaborovej holografie. V článku uvádzame niektoré jednoduché optické schémy holografie a experimentálne výsledky, ktoré sa pomocou týchto schém dosiahli.

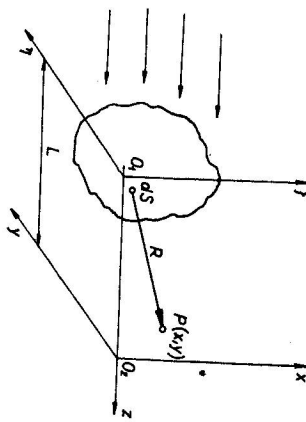
### II. VZNIK A REKONŠTRUKCIA HOLOGRAMU

Význačnou vlastnosťou holografie je jej schopnosť úplnejšie zaregistrovať priestorovú štruktúru svetelnej vlny. Na rozdiel od fotografie, ktorá zachytáva len intenzitné pomery svetelného pola, holografia umožňuje získať informácie o amplitúdových, ako aj o fázových pomeroch vo svetelnom poli. Holografia uskutočňuje teda úplné merania, a to pomocou interference tzv. signálneho

\* Katedra experimentálnej fyziky Prírodovedeckej fakulty UK, BRATISLAVA, Šmeralova 2.

vnenia, ktoré vzniklo ohybom na pozorovanom objekte a porovnávacieho, resp. referenčného vnenia, ktoré sa šíri priamo od zdroja svetla. Ak do oblasti prekrycia oboch týchto vnení vložíme fotografickú dosku, po jej vyzvolení dostaneme hologram, ktorý predstavuje v reze obraz svetelného pola [3].

Vlastnosti a vznik hologramu vysvetlime takto [4]: najdeme obraz predmetu holografickou metódou, pričom sa obmedzíme na dvojrozmerný prípad. Uvažujeme svetelnú vlnu postupujúcu v smere osi  $z$  (obr. 1). Nech  $U(x, y)$



Obr. 1. Vznik hologramu.  $(\xi, \eta)$  — súradná rovina predmetu,  $(x, y)$  — súradná rovina hologramu,  $L$  — vzdialenosť oboch súradnicových rovin,  $dS$  — elementárna ploška,  $P(x, y)$  — bod pozorovania,  $R$  — vzdialenosť bodu  $P$  od elementárnej plošky  $dS$ .

je amplitúda svetelného pola v bode  $P$ , ktorý leží v blízkosti počiatku  $O_2$  súradnej sústavy  $(x, y)$ . Súradná sústava  $(\xi, \eta)$  je od súradnej sústavy  $(\xi, \tau)$  vzdialenosť o dĺžku  $L$ . Podľa Huygens-Fresnelovoho princípu bude sa veľkosť  $U(x, y)$  rovnati superpozícii všetkých vnení od jednotlivých elementárnych plošiek  $dS$  vlnoplochy v rovine  $(\xi, \tau)$  a určíme ju zo vzťahu [5]:

$$U(x, y) = \frac{Ai}{\lambda} \int_S \frac{e^{ikR}}{R} dS,$$

kde  $R$  je vzdialenosť bodu  $P$  od elementárnej plošky  $dS$  vlnoplochy, t. j.  $R = \sqrt{L^2 + (x - \xi)^2 + (y - \eta)^2}$ . Pretože bod  $P$  leží v blízkosti počiatku súradnej sústavy, uhol medzi vektorom  $R$  a osou  $z$  bude malý. Pri dosťatočne veľkých vzdialostach  $L$  a dodržaní podmienky malých uhlov (uvažujeme len tie elementárne plošky  $dS$  vlnoplochy, ktoré ležia v blízkosti počiatku  $O_1$  súradnej sústavy  $(\xi, \eta)$ ), bude

$$R \approx L + \frac{(x - \xi)^2}{2L} + \frac{(y - \eta)^2}{2L}.$$

Dosadením  $R$  do vzťahu pre  $U(x, y)$  dostávame:

$$U(x, y) = \frac{Ai e^{ikL}}{\lambda L} \int_S e^{\frac{\pi i}{\lambda L} [(x - \xi)^2 + (y - \eta)^2]} dS.$$

V ďalene opisujúcim amplitúdu svetelného pola sme pre jednoduchosť zanedbali členy vyšších rádov, keďže nemajú na ňu podstatný vplyv. Do roviny  $(\xi, \eta)$ , vložme teraz predmet, (napr. diafózitív). Nech jeho amplitudová priestupnosť je  $S(\xi, \eta)$ . Ak vynechame konštanty, ktoré nemajú vplyv na rozloženie intenzity svetla v rovine obrazu, môžeme  $U(x, y)$  napísat v tvare:

$$U(x, y) = \int_{-\infty}^{\infty} \int_{-\infty}^{\infty} S(\xi, \eta) f(x - \xi, y - \eta) d\xi d\eta,$$

kde

$$f(x - \xi, y - \eta) = e^{\frac{\pi i}{\lambda L} [(x - \xi)^2 + (y - \eta)^2]}.$$

Tento výraz predstavuje Fourierov integrál charakterizujúci operáciu konvolúcie, ktorú zjednodušene píšeme [3]:

$$U(x, y) = S(\xi, \eta) \otimes f(\xi, \eta).$$

Aby fotografická doska, ktorá je umiestnená v rovine  $(x, y)$ , niesla záznam o predmete, musíme na ňu priviesť porovnávací (referenčný) signál  $S_R$ . Amplitúda výsledného vnenia v rovine  $(x, y)$  potom bude:

$$S_R + U(x, y) = S_R + S \otimes f.$$

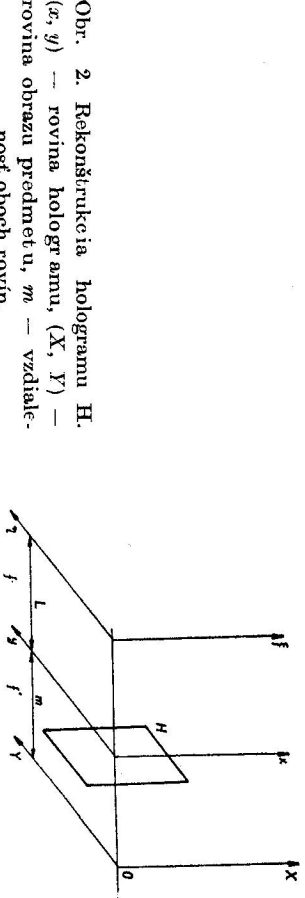
Fotografická doska ako kvadratický detektor zaznamená intenzitu

$$I \sim |S_R + S \otimes f|^2 = (S_R + S \otimes f)(S_R^* + S^* \otimes f^*) =$$

$$= S_R^2 + (S \otimes f)^2 + S_R(S^* \otimes f^*) + S_R^*(S \otimes f).$$

Rovnica (1) sa nazýva rovnicou hologramu. Posledné dva členy na pravej strane rovnice obsahujú aj fazovú informáciu.

Ak túto fotografickú dosku vyzvolíme, dostaneme hologram  $H$  (obr. 2)..



Ak tento hologram osvetlím koherentným svetlým zväzkom, v rovine  $(X, Y)$  budeme môcť pozorovať obraz pôvodného predmetu.

Nech  $m$  je vzdialenosť súradnej roviny  $(X, Y)$  od roviny  $(x, y)$ . V nasledujúcich úvahach budeme postupovať tak ako v predošom prípade. Zaujímať nás bude svetelné pole v rovine  $(X, Y)$ . Priepustnosť hologramu môžeme charakterizovať jedným z tých členom rovnice (1), ktoré obsahujú aj fázovú informáciu o predmete. Vezmíme napr. 3. člen. Svetelné pole v rovine  $(X, Y)$  možno potom charakterizovať vzťahom:

$$S_R(S^* \otimes f^*) \otimes f',$$

kde  $f'$ , podobne ako v prvom prípade, môžeme vyjadriť v tvare:

$$f'(X, Y) = \exp \left[ \frac{i\pi}{m\lambda} (X - x)^2 + (Y - y)^2 \right].$$

Uprävme výraz  $(S^* \otimes f^*) \otimes f'$ . Pre jednoduchosť predpokladajme, že  $L = m$  a teda funkcie  $f$  a  $f'$  majú rovnaký tvar. Pretože [3]

$$(S^* \otimes f^*) \otimes f' = S^* \otimes (f \otimes f'),$$

je

$$\begin{aligned} (f^* \otimes f') &= \iint_{-\infty}^{\infty} \exp \left\{ \frac{i\pi}{L\lambda} [x^2 + y^2 + (X - x)^2 + (Y - y)^2] \right\} dx dy = \\ &= \iint_{-\infty}^{\infty} \exp \left[ \frac{i\pi}{L\lambda} (X^2 + Y^2) - 2i \left( \frac{Xx}{L\lambda} - \frac{Yy}{L\lambda} \right) \right] dx dy. \end{aligned}$$

Ak označíme  $u = X/L\lambda$ ,  $v = Y/L\lambda$ , dostávame:

$$f^* \otimes f' = \exp \left[ \frac{i\pi}{L\lambda} (X^2 + Y^2) \right] \iint_{-\infty}^{\infty} \exp [-2i(ux - vy)] dx dy.$$

Riešením tohto integrálu dostávame Diracovu  $\delta$ -funkciu

$$f^* \otimes f' = \delta(X, Y).$$

Teda  $S^* \otimes \delta(X, Y) = \iint_{-\infty}^{\infty} S(x, y) \delta(X - x, Y - y) dx dy = S^*(X, Y)$ , pretože platí toto pravidlo [3]:

$$\int F(x) \delta(x - a) dx = F(a).$$

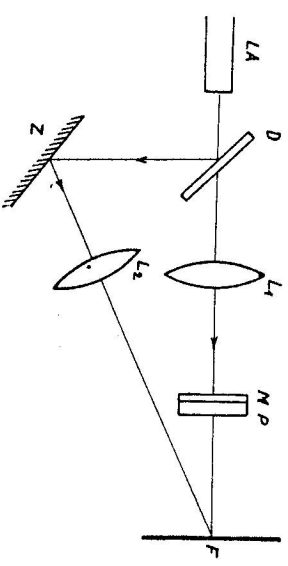
V našich výpočtoch sme dospeľi ku komplexne združenej hodnote signálu neho vlnenia. Pretože fotografická doska pôsobi ako kvadratický detektor, v konečnom dôsledku dostávame obraz pôvodného predmetu. Z našich úvah teda vyplýva, že komplexna amplitúda svetelného pola v rovine zobrazenia t. j. v rovine hologramu sa rovná Fourierovmu obrazu komplexnej amplitúdy svetelného pola predmetu. Ak sme teda aplikovali Fourierovu transformáciu na pole svetelného vektora hologramu, museli sme dospieť k východiskovému stavu, t. j. k pôvodnému predmetu, resp. obrazu predmetu.

### III. EXPERIMENTÁLNE VÝSLEDKY

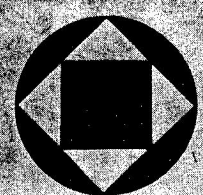
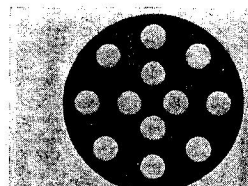
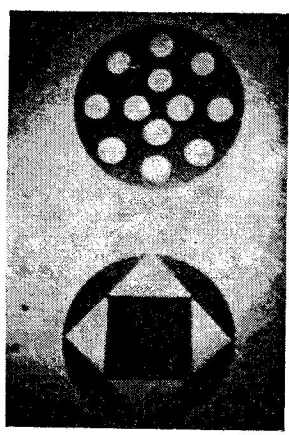
V pôvodných Gáborových pokusoch [1] o holografický záznam sa nestravame so spôsobom záznamu, aký sa používa pri využití laserového svetla. Princíp Gáborovej metódy spočíva v tom, že svetelné lúče, ktoré prechádzajú predmetom nezmenené a pri ktorých dochádza k ohybu, medzi sebou interferujú. Tento interferogram môžeme zaznamenať na fotografickú dosku. Využitie laserového svetla v holografií umožnilo vytvoriť novú metódu záznamu, tzv. dvojľúčovú metódu [3]. Podstata takéhoto záznamu spočíva v tom, že svetelný zväzok vystupujúci z laseru sa opticky rozdelí na dva lúče, z ktorých jeden prechádza predmetom a druhý nezmenený dopadá na fotodosku priamo. Fotografická doska je umiestnená tak, aby na nej došlo k prekrytiu oboch zväzkov. Po vyzvolení bude v sebe niesť záznam interferenčného obrazu, ktorý tam vznikol. Dvojľúčová metóda má pred pôvodnou Gáborovou metodou prednosť v tom, že umožňuje aj záznam trojrozmerných predmetov. V oboch prípadoch však vznik hologramu podmiňuje dokonalá stabilita systému a vysoká rozlišovacia schopnosť záznamového materiálu. Aby sa dosiahla čo najvyššia stabilita zariadenia, umiestňuje sa toto na hrubú žulovú platňu, uloženú na plstenej podložke. Použitie klasickej optickej lavičke nie je príliš šťastné riešenie, pretože nie je dokonale stabilná a neumožňuje žiadny iný smer lúča, iba priamočiarý.

V samom experimente sme postupovali takto: podľa optickej schémy na obr. 3 sme dostali hologram diafrozitívnu veľkosti  $36 \times 36$  mm. Zobrazený predmet na diafrozitíve bol veľkosťi asi 5 mm. Predmet, hologram a rekonštrukcia sú na obr. 4. Použitá optickej schéma predstavuje dvojľúčovú metódu na prechod. Laserový zväzok sme rozdelili hrubou sklenenou doskou na dva lúče. Jeden z lúčov rozdeleného zväzku pokračoval nezmeneným smerom a dopadal na fotografickú dosku po prechode predmetom, druhý sa odrazil v smere kolmom na pôvodný smer. Použitím pomocného zrkadla sme otocili smer chodu tohto lúča do smeru prvého lúča tak, aby v mieste fotografickej dosky došlo k ich prekrízeniu. Z nedostatku iných možností sme celé

zariadenie inštalovali na klasickú optickú lavicu. Zrkadlo, ktoré ovplyvňovalo smer dráhy referenčného zväzku, museli sme umiestniť na pomocný stôl, čo do určitej miery malo vplyv na kvalitu hologramu.

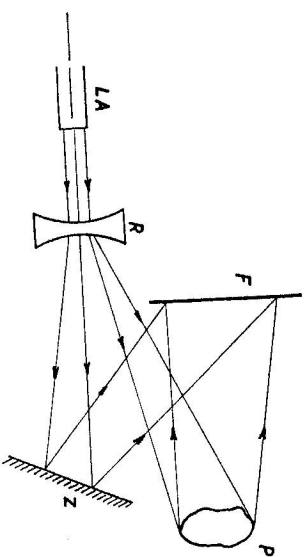


Obr. 3. Optická schéma použitá pri holografickom zobrazovaní dvojrozmerného objektu (diapoziív). LA – laser, D – polopriepustná dosťička (príp. hrubá sklenená doska), Z – rovinné zrkadlo, L<sub>1</sub>, L<sub>2</sub> – pojné šošovky, M – matnica, P – diapoziív, F – fotografická doska.

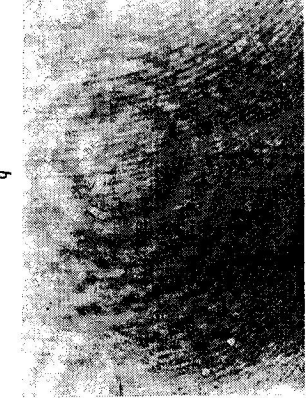
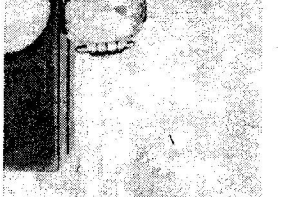
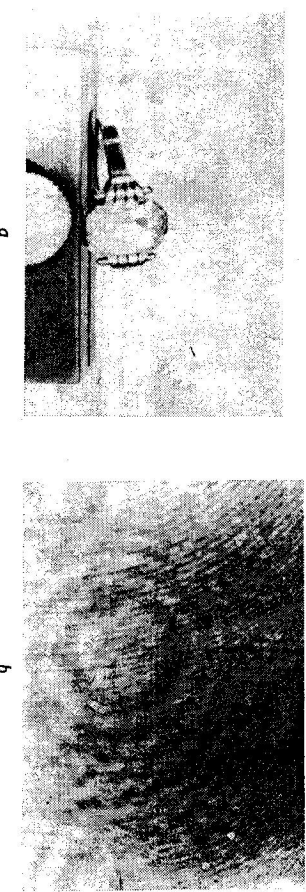


Obr. 4. a) predmet; b) hologram; c) obraz predmetu.

Pri zobrazovaní konkrétneho trojrozmerného predmetu sa optická schéma pozmenila (obr. 5). Predmet musí svetlo odrážať. Svetlo rozptylé od predmetu dopadalo na fotografickú dosku, kde sme privádzali aj referenčný zväzok. Veľkosť predmetu bola asi 2 cm. S výhodou možno zobrazovať tie predmety, ktoré čo najvonomernejšie rozptylujú svetlo. Predmet, hologram a rekonštrukcia sú na obr. 6.



Obr. 5. Optická schéma použitá pri holografickom zobrazovaní trojrozmerného predmetu (prsteň). LA – laser, R – rozptylná šošovka, Z – rovinné zrkadlo, P – predmet, F – fotografická doska.



Obr. 6. a) predmet; b) hologram; c) obraz predmetu.

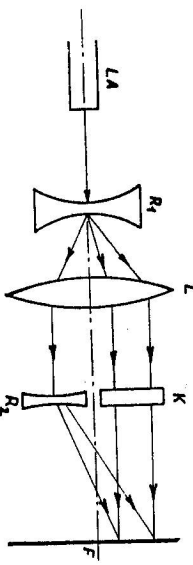
Holografickú metódu sme použili aj na zobrazenie pola stojatej ultrazvukovej vlny. Možnosť tohto zobrazenia vyplýva z toho, že prostredie s ultrazvukovou vlnou sa v dôsledku periodických zmien indexu lomu stáva opticky nehomogénnym. Táto skutočnosť umožňuje zobraziť pole stojatej ultrazvukovej vlny, a to metódou sekundárnej interferencie alebo tieňovou metódou [6].

Obe tieto metódy však z principiálneho hľadiska neumožňujú získať trojrozmerný obraz. Obraz, ktorý vzniká, je určený strednou hodnotou intenzity ultrazvuku v tých miestach, v ktorých prechádza svetelný lúč polom.

Prednostou holografickej metódy je práve možnosť získať trojrozmerný obraz. Na rozdiel od predmetov obvykle zobrazovaných holografickou metódou, má ultrazvukové pole vo funkcií predmetu malý kontrast, čo má značný vplyv na kvalitu obrazu. Našim cieľom bolo získať obraz pola stojatej ultrazvukovej vlny na dvojrozmerný záznamový materiál, pretože aj keď pokusy s vyšetrovaním ultrazvukového pola holografickou metódou sa už robili [7],

obraz ultrazvukového pola získaný touto metódou sme v dostupnej literatúre nenašli.

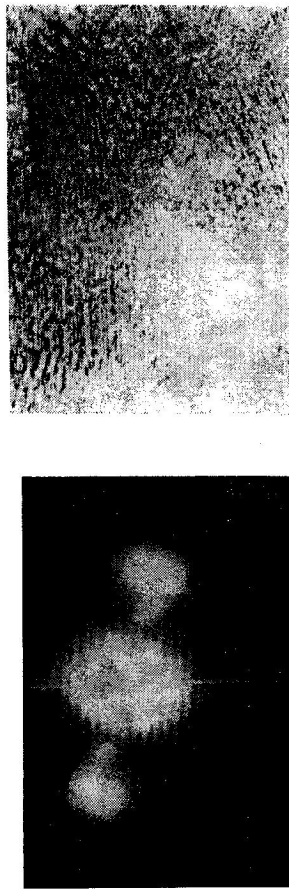
O kvalite rekonštrukcie rozhoduje (pri danom fotomateriáli) použitá optická schéma. V našom prípade svetelný zvážok vystupujúci z laseru sme rozšírili mikroskopickým objektívom tak, aby časť z neho mohla prechádzať pozorovaným polom a zvýšená nezmenená dopadla na fotografickú dosku priamo (obr. 7). Ultrazvukové vlnenie vysielal piezoelektrický menič s rezonančnou



Obr. 7. Optická schéma holografickej metódy použitéj pri zobrazení ultrazvukového pola. LA – laser, K – kvetva s ultrazvukovým polom, L – spojna šošovka, R<sub>1</sub>, R<sub>2</sub> – rozpínacie šošovky, F – fotografická doska.

frekvenciou 1 MHz. Menič pracoval v transformátorovom oleji. Ultrazvukové pole sme zobrazovali v plánparallelnej vistve oleja hrúbky asi 5 cm. Hologram a jeho rekonštrukcia sú na obr. 8. Na rekonštrukcii vidieť priebeh uzlových rovín, ktorý zodpovedá kolmému prechodu svetla cez ultrazvukové pole.

Pri holografickom zobrazovaní sme používali plynový He-Ne laser a ako záznamové prostriedie fotografické dosky ORWO LP 1 MIKRAT s rozlišovanou schopnosťou 520 čiar/mm.



Obr. 8. a) hologram; b) obraz ultrazvukového pola.

#### IV. ZÁVER

Aj keď principiálne zhotovenie hologramu nie je úloha zložitá, pri experimentálnej práci treba vyriešiť viaceré problémy. Na to, aby interferenčný obraz na fotografickej doske vznikol, je totiž bezpodmienečne nevyhnutné dodržať stabilitu celeho zariadenia. Ak uvažíme, že už pri náhodnej zmene dráhového rozdielu interferujúcich lúčov o hodnotu  $1/20$  sa znižuje hodnota kontrastu na polovičnú [4], náročnosť experimentálnej techniky je zrejmá. Pri experimentálnej práci je veľmi dôležitý výber záznamového materiálu. So vzrastom rozlišovacej schopnosti sa však znižuje citlosť fotomateriálu, a tým sa zhoršujú predpoklady na dodržanie stability celej optickej sústavy.

Výsledky, uvedené na obr. 4 a obr. 6, sa dajú porovnať s rekonštrukciami uvedenými napr. v [3], aj keď rozlišovacia schopnosť našich fotografických dosiek bola menšia. Experimentálne podmienky umožnili získať obraz pola stojatej ultrazvukovej vlny len priamo v smere signálneho zvážku, v dôsledku čoho silne vzrástlo rovnomerne osvetlené pozadie. Preto porovnanie nášho výsledku s výsledkami získanými klasickými metodami, uvedenými napr. v [6], nevyjadruje prednosť holografického zobrazenia. Podľa nás, na získanie kvalitnejšieho a trojrozmerného obrazu ultrazvukového pola treba použiť zložitejšiu schému, pri ktorej by zobrazené pole bolo osvetľované aspoň dvoma svetelnými zvážkami a materiál s výšou rozlišovacou schopnosťou. V súčasnosti sa naša práca zamiera na využitie trojrozmerného záznamového prostredia pri holografickom zobrazovaní.

#### LITERATÚRA

- [1] Gabor D., Nature 161 (1948), 777.
- [2] Leith E., UPATNIKES J., Opt. Soc. Am. 53 (1963), 1377.
- [3] Stroka G. W., An Introduction to Coherent Optics and Holography. Academic Press, New York 1966.

- [4] Knittl Z, *Teorie tenkého hologramu*. Kurz holografie, Olomouc 1970.
- [5] Ландau Л. Д., Лишинц Е. М., *Теория поля*. Гос. изд. физ.-мат. литературы, Москва 1960.
- [6] Бергман Л., *Ультразвук*. Издательство иностр. литературы. Москва 1956.
- [7] Alipi A., Palmert L., Acustica 20 (1968), 84.

Došlo 17. 11. 1970

## SOME REMARKS TO THE LASER HOLOGRAPHY

Anton Štrba, Eva Závodská

### Summary

In the article there are presented some experimental results obtained in the investigation of plain and space objects by holographic method. The paper shows the possibility to use this method for the investigation of an ultrasonic standing wave of the frequency 1 MHz in the transparent planparallel layer of isotropic liquid.